



## مطالعه خواص مکانیکی نانوصفحه تک لایه تنگستن دی سولفید

سینا ملکپور<sup>۱</sup>، رضا انصاری<sup>۲\*</sup>، منصور درویزه<sup>۳</sup>، مصطفی صادقی<sup>۴</sup>

- ۱- دانشجوی کارشناسی ارشد، مهندسی مکانیک، دانشگاه گیلان، رشت
- ۲- دانشیار، مهندسی مکانیک، دانشگاه گیلان، رشت
- ۳- استاد، مهندسی مکانیک، دانشگاه گیلان، رشت
- ۴- دانشجوی کارشناسی ارشد، مهندسی مکانیک، دانشگاه گیلان، رشت

\* گیلان، صندوق پستی ۴۱۶۳۵-۳۷۵۶، r\_ansari@guilan.ac.ir

### چکیده

از آنجایی که کالگوزن‌های عناصر واسطه، نانوموادی مقاوم برای تحمل کردن های بزرگ بدون شکست هستند؛ کاربرد آن‌ها در نانو ابزارهای انعطاف‌پذیر الکترونیکی جدید بسیار مورد توجه است. تنگستن دی سولفید یکی از نانوساختارهای متعلق به این دسته از نانو مواد است که خواص الکتریکی، اپتیکی و سنسوری خاصی دارد و به علت داشتن ساختار غیر سطحی، پاسخ‌های جالبی تحت کردن های مختلف از خود نشان می‌دهد. در این مقاله خواص مکانیکی نانوساختار تک لایه تنگستن دی سولفید مثل مدول بانگ، مدول بالک، مدول برشی و نسبت پواسون، با استفاده از نظریه تابعیت چگالی، و براساس تقریب گرادیان موضعی یا عمومی مورد بررسی قرار گرفته است. نتایج نشان می‌دهند که مقدار خواص الاستیک نانوساختار تنگستن دی سولفید، کمتر از مقدار خواص نانوصفحات گرافن و برن‌نیتراید می‌باشد، اما نسبت پواسون آن از دو نانوصفحه گرافن و برن‌نیتراید بیشتر است. مشاهده می‌شود که بدليل ساختار ویژه تنگستن دی سولفید، ضخامت این نانوصفحه (فاصله بین دو اتم گوگرد-گوگرد)، طول پیوند تنگستن-گوگرد و زاویه گوگرد-تنگستن-گوگرد تحت انواع کردن های مختلف تغییر می‌کند. همچنین، در حالت کردن دومجهوره، میزان تغییرات سه پارامتر طول پیوندی، ضخامت و زاویه خمی نسبت به حالات های کردن تک محوره و برشی بیشتر است.

### اطلاعات مقاله

مقاله پژوهشی کامل

دریافت: ۱۱ بهمن ۱۳۹۲

پذیرش: ۱۹ بهمن ۱۳۹۲

ارائه در سایت: ۱۹ خرداد ۱۳۹۳

کلیل و زکان:

تئوری خواص مکانیکی

تنگستن دی سولفید

نظریه تابعیت چگالی

## Studying the mechanical properties of monolayer tungsten disulfide (WS<sub>2</sub>) nanosheets

SinaMalakpour, Reza Ansari\*, MansourDarvizeh, MostafaSadeghi

1- Department of Mechanical Engineering, University of Guilan, Rasht, Iran.

2- Department of Mechanical Engineering, University of Guilan, Rasht, Iran.

3- Department of Mechanical Engineering, University of Guilan, Rasht, Iran.

4- Department of Mechanical Engineering, University of Guilan, Rasht, Iran.

\*P.O.B. 3756-41635 Rasht, Iran, r\_ansari@guilan.ac.ir

### ARTICLE INFORMATION

Original Research Paper

Received 31January2014

Accepted 08February2014

Available Online 09 June 2014

#### Keywords:

Determination of Mechanical Properties  
Tungsten Disulfide  
Density Functional Theory

### ABSTRACT

Forasmuch as, Transition Metal Dichalcogenides (TMDs) are robust nanomaterials to sustain large strains without fracture, their application in new pliable electronic nanodevices is so appealing. Of these nanomaterials is tungsten disulfide which has specific electrical, optical and sensor properties; and due to possessing a non-planar structure, shows interesting responses under different plane strains. This investigation explores the mechanical properties of a monolayer tungsten disulfide (WS<sub>2</sub>) such as Young's modulus, bulk modulus, shear modulus and Poisson's ratio by applying the Density Functional Theory (DFT) calculations based on the Generalized Gradient Approximation (GGA). The results demonstrate that elastic properties of WS<sub>2</sub> are less than those of graphene and its analogous inorganic Hexagonal Boron-Nitride (h-BN) nanosheets. Unlikely, Poisson's ratio is calculated higher than that of graphene and h-BN nanosheets. It is observed that, due to the special structure of WS<sub>2</sub>, the thickness of nanosheet (distance between S-S atoms), bond length of W-S and the angle S-W-S change under different kinds of strains. Also, in the case of biaxial strain, the amount of variations in bond length, thickness and bending angle is higher than that in the cases of uniaxial and shear strain.

لازم برای برآورده کردن خواستگاه صنعت نانوالکترونیک آینده با ویژگی‌های

انعطاف‌پذیری، تطابق و چندکاربردی بودن توجهات بسیاری را به سوی خود

جلب نموده‌اند [۲]. میرززاد و همکاران [۳-۵] در سال‌های اخیر مطالعات

بعد از اینکه گرافن در سال ۲۰۰۴ [۱] به صورت آزمایشگاهی مورد بررسی قرار

گرفت، مواد دوبعدی، بدليل برخورداری از خواص فیزیکی بی‌نظیر و ظرفیت

#### Please cite this article using:

S. Malakpour, R. Ansari, M. Darvizeh, M. Sadeghi, Studying the mechanical properties of monolayer tungsten disulfide (WS<sub>2</sub>) nanosheets, *Modares Mechanical Engineering*, Vol. 14, No. 5, pp. 11-14, 2014 (In Persian)

برای ارجاع به این مقاله از عبارت ذیل استفاده نمایید:

www.mme.ir

خواص مکانیکی الاستیک نانوساختار تک لایه WS<sub>2</sub>، مثل مدول یانگ، نسبت پواسون، مدول بالک و مدول برشی محاسبه می شوند.

### ۳-۱- مدولیانگ و نسبت پواسون

برای به دست آوردن مدولیانگ، ابتدا سلول واحد هگزاگونال سه اتمی مورد نظر که در شکل ۱ از نمای بالا نشان داده شده است، تحت کرنش یک طرفه و به صورت کششی و فشاری در بازه الاستیک و هارمونیک بین ۰-۲٪ تا ۲٪ قرار می گیرد. با استفاده از فرمول (۱) مدولیانگ محاسبه می شود [۱۸]:

$$Y = \frac{1}{V_0} \frac{\partial^2 E_s}{\partial \varepsilon^2} \quad (1)$$

در فرمول (۱)  $V_0$  نشان دهنده حجم سلول واحد در حالت تعادلی و هم انرژی کرنشی کل می باشد. نسبت پواسون هم به صورت نسبت کرنش عرضی به کرنش محوری تعریف می شود:

$$\nu = -\frac{\varepsilon_{\text{trans}}}{\varepsilon_{\text{axial}}} \quad (2)$$

مدول یانگ به دست آمده از این طریق برای WS<sub>2</sub> ۴۵۴/۰۹ گیگاپاسکال می باشد که به ترتیب در حدود ۵۶٪ و ۴۵٪ کمتر از نانوصفحات گرافن و برنیتراید و تقریباً ۲۲٪ بیشتر از MoS<sub>2</sub> تک لایه است. اگر ضخامت را نادیده گرفته و به صورت صفحه ای با ساختار برخورد شود و مدول یانگ صفحه ای آن گزارش شود، مقدار ۱۴۲/۷ نیوتون بر متر به دست می آید که توافق خوبی با مرجع [۱۱] دارد. همچنین براساس فرمول (۲) نسبت پواسون، مقدار ۰/۳۵ به دست می آید که به مرائب بیشتر از نسبت پواسون دو ساختار هگزاگونال گرافن و برنیتراید است.

### ۳-۲- مدول بالک و مدول برشی

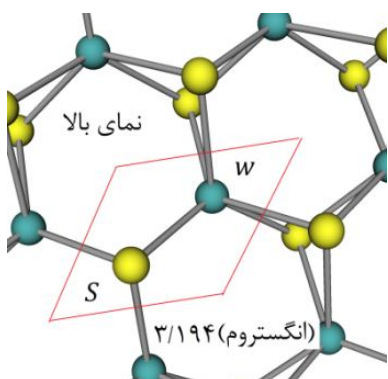
برای به دست آوردن مدول بالک، ساختار مورد نظر تحت کرنش دوطرفه به اندازه ی یکسان قرار داده می شود. بازه کرنش مورد نظر در اینجا هم بین ۰-۲٪ است و با استفاده از فرمول (۳) این خاصیت مهم به دست می آید [۱۹]:

$$B = V_0 \frac{\partial^2 E_s}{\partial \gamma^2} \quad (3)$$

مدول برشینانو ساختار WS<sub>2</sub> با ایجاد کرنش برشی در سلول واحد ساختار مورد نظر بدست می آید. یعنی ساختار مورد نظر تحت کرنش برشی بین بازه ۰ تا ۰/۱۰۵ رadian در صفحه xy قرار گرفته است و انرژی کرنشی کل محاسبه می شود. سپس با استفاده از فرمول (۴) مدول برشی محاسبه می شود که در آن  $\gamma_{xy}$  میزان کرنش برشی صفحه ای می باشد [۲۰]:

$$S = \frac{1}{V_0} \frac{\partial^2 E_s}{\partial \gamma_{xy}^2} \quad (4)$$

با استفاده از فرمول های (۳) و (۴) مدول بالک و برشی، به ترتیب مقادیر ۰/۲۲۳ و ۰/۲۴۲ میگا پاسکال به دست می آیند.



شکل ۱ نمای بالا از ساختار تنگستن دی سولفید و سلول واحد هگزاگونال

گسترهای بر روی خواص مکانیکی نانوصفحات گرافن و برن نیترایدی تحت شرایط خارجی (جذب فیزیکی و تعییرات دما و افزایش تعداد لایه ها) با استفاده از روش DFT انجام داده اند. انصاری و همکاران [۱۶] نیز با استفاده از شبیه سازی دینامیک مولکولی به بررسی خواص مکانیکی نانوصفحه گرافن تحت عیوب و نقص پرداختند. TMD های متعدد، برخلاف گرافن، دارای مقدار باند گپ در بازه ۱ تا ۲ الکترون ولت هستند که این خاصیت، آنها را برای کاربرد در نانو بازار نوری- الکترونیکی و ترانزیستورها مورد توجه قرار داده است [۸، ۷]. WS<sub>2</sub> و ساختار معروف MoS<sub>2</sub> و همچنین MoSe<sub>2</sub>، WSe<sub>2</sub> جزء خانواده TMD ها هستند. ونگ و همکاران [۹] در مورد خواص الکترونیکی و اپتیکی این خانواده مهم از ساختارها بررسی کردند و کاربردهای وسیع این ساختارها را در آینده نشان داده اند. قربانی اصل و همکاران [۱۰] نیز به بررسی خواص الکترومکانیکی تنگستن دی سولفید تک لایه و نانولوله تنگستن دی سولفید پرداختند و تاثیر کرنش را بر روی باند گپ آنها بررسی کردند. خواص مکانیکی این نانوساختارها به خاطر کاربردهای فراوانی که در وسایل انعطاف پذیر دارند، بسیار حیاتی هستند. کانگ و همکاران [۱۱] با استفاده از نرم افزار وسپا به بررسی خواص فیزیکی و مکانیکی تعدادی از TMD ها پرداختند که مدول یانگ صفحه ای WS<sub>2</sub> را ۱۳۹/۵۴ نیوتون بر متر گزارش کردند. همچنین به نانوساختار MoS<sub>2</sub> به عنوان یکی از ساختارهای پر کاربرد، توجه زیادی شده است. کاستلانو- گومز و همکاران [۱۲]، سفتی نانوصفحه مولیبدنیم دی سولفید را در حدود ۳۳۰ گیگاپاسکال محاسبه کردند. علاوه بر این، برتو لازی و همکاران [۱۳] مدول یانگ این ساختار را در حدود ۲۷۰±۱۰۰ میلیمتر بر روی محدود عددی و آزمایشگاهی، نیاز به مطالعات جامع تر و کامل تر بر روی خواص مکانیکی نانوساختار تنگستن دی سولفید دیده می شود. در این مقاله خواص مکانیکی تنگستن دی سولفید و تغییر شکل آن در مواجهه با انواع کرنش ها، با استفاده از محاسبات DFT و بر پایه تقریب گرادیان عمومی به صورت کامل مورد بررسی قرار گرفته است.

### ۲- روش حل عددی

در این مقاله، از کد ورودی نرم افزار کواتنوم- اسپرسو<sup>۳</sup> [۱۴] برای انجام محاسبات نظریه تابعیت چگالی (DFT) در چارچوب تقریب گرادیان عمومی (GGA) و همبستگی تعادلی پی بی ای<sup>۴</sup> [۱۶، ۱۵] استفاده شده است. در این محاسبات یک پکیج مانکهرست<sup>۵</sup> [۱۷] با مشاهده کاپوینت<sup>۶</sup> ۲۰×۲۰×۱ با انتگرال گیری در ناحیه بریلیوین<sup>۷</sup> (سلول واحد اصلی در فضای معکوس) و انرژی کات-اف<sup>۸</sup> به مقدار ۸۰ ریدبرگ برای بسط موج سطحی به کار گرفته شده است. همچنین در کار حاضر چون نتایج محاسبات نسبت به افزایش اندازه سلول واحد مورد نظر غیر حساس هستند، از کوچکترین سلول واحد ممکن برای انجام این بررسی استفاده شده است. این سلول واحد، یک a=b=۳/۱۹۴ و c=۱۵ انگستروم است.

### ۳- تعیین خواص مکانیکی

در اینجا با استفاده از مفهوم مشتق دوم انرژی های کرنشی از محاسبات DFT.

1- Transition Metal Dichalcogenides

2- VASP

3- Quantum Espresso

4- PBE

5-Monkhorst-Pack

6-Brillouin zone

7- Cut-off

جدول ۱ تغییر مولفه‌های ساختاری بر اثر کرنش تکمحوره

زاویه (درجه) (انگستروم)	گوگرد طول پیوند	فاصله دو اتم تنگستن-گوگرد (انگستروم)	کرنش تک محوره(٪)
۸۱/۸	۳/۱۶۵	۲/۴۱۶	-۲
۸۰/۹	۳/۱۴۳	۲/۴۲۳	۰
۷۹/۹	۳/۱۲۱	۲/۴۲	۲

جدول ۲ تغییر مولفه‌های ساختاری بر اثر کرنش دومحوره

زاویه (درجه) (انگستروم)	گوگرد طول پیوند	فاصله دو اتم تنگستن-گوگرد (انگستروم)	کرنش دو محوره(٪)
۸۲/۹	۳/۱۹	۲/۴۱	-۲
۸۰/۹	۳/۱۴۳	۲/۴۲۳	۰
۷۹	۳/۱	۲/۴۳۷	۲

جدول ۳ تغییر مولفه‌های ساختاری بر اثر کرنش برشی

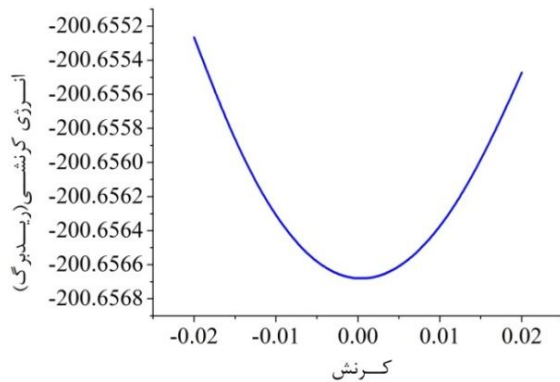
زاویه (درجه) (انگستروم)	گوگرد طول پیوند	فاصله دو اتم تنگستن-گوگرد (انگستروم)	کرنش دو محوره(٪)
۸۰/۹	۳/۱۴۳	۲/۴۲۳	۰
۸۰/۸	۳/۱۴۴	۲/۴۲۵	۰/۰۰۵
۸۰/۷	۳/۱۴۵	۲/۴۲۸	۰/۰۱

#### ۴- تغییر شکل ساختار تنگستن دی سولفید

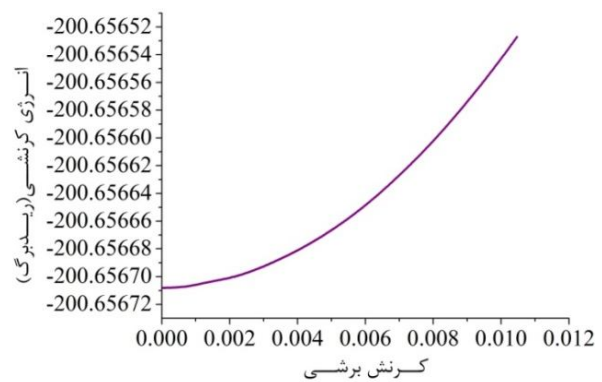
همان طور که در شکل ۴ ملاحظه می‌شود، ساختار صفحه<sub>WS<sub>2</sub></sub> دارای ضخامت در جهت Z بوده و در این شکل از نمای ایزومتریک این ساختار نشان داده شده است. شکل ۴ به خوبی نشان می‌دهد که هر اتم تنگستن با شش اتم گوگرد پیوند کووالانسی برقرار کرده است، که شکل ۵ به خوبی یک المان ۳ تایی از این ساختار را نشان می‌دهد. به صورت واضح مشخص است که اتم‌های گوگرد نسبت به نانوصفحه دارای خروج از صفحگی هستند.

وقتی سلول واحد سه اتمی مورد نظر که در شکل ۵ مشخص است، تحت کرنش‌های خطی تک محوره، دو محوره و برشی قرار می‌گیرد، طول پیوندی و ضخامت و زاویه‌ای که در شکل ۵ دیده می‌شود تغییر می‌کند. این تغییرات در جداول ۱ و ۲ و ۳ برای سه نوع کرنش مختلف نشان داده شده است.

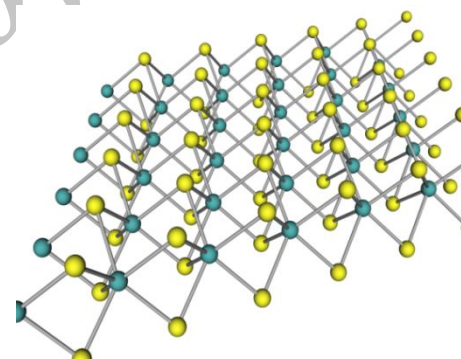
علت تغییرات پارامترهای موجود در جداول ۱ و ۲ و ۳، ماهیت ساختاری نانوصفحه تنگستن دی سولفید است که جزو ساختارهای کووالانسی با سلول واحد هگراگونال است. این نانوساختار همان‌طور که در شکل ۴ مشخص است، دارای مولفه (ضخامت) در جهت Z است و وقتی که نانوصفحه تحت کرنش تک-محوره و یا دومحوره قرار می‌گیرد، به علت کشش و فشارهایی که در ساختار ایجاد می‌شود پارامترهای طول پیوندی و ضخامت و زاویه تغییر می‌کنند. اگر این پارامترها تغییر نکنند ساختار تحت تاثیر کرنش دچار بهم ریختگی می‌شود و این تغییرات در پارامترهای نانوصفحه به نوعی پاسخ یک ساختار غیرالی با پیوندهای کووالانسی قوی به یک تغییر به نام کرنش دیگر گرفتن نانوصفحه تحت کرنش، زاویه دی هدرا<sup>۱</sup> و زاویه پیچشیگیری ویژه<sup>۲</sup> و زاویه خمشی<sup>۳</sup> تغییر می‌کنند که زاویه خمشی در نمای شکل ۵ موجود است. با تغییر زاویه خمشی و کوچک شدن آن، ساختار در جهت Z دچار جمع‌شدگی می‌شود و سپس طول باند نیز افزایش می‌یابد. به عبارت دیگر مقداری از انرژی کرنشی قرار نگرفته و طبیعتاً دارای کمترین مقدار انرژی است.



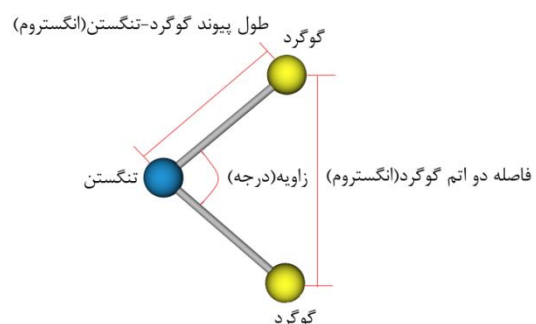
شکل ۲ تغییرات انرژی کرنشی ناشی از کرنش‌های خطی یک طرفه با کرنش خطی



شکل ۳ تغییرات انرژی کرنشی ناشی از کرنش‌های زاویه‌ای با کرنش برشی



شکل ۴ نمای ایزومتریک ساختار



شکل ۵ المان سه اتمی ساختار تنگستن دی سولفید

در شکل‌های ۲ و ۳ به ترتیب نمودارهای انرژی کرنشی بر حسب کرنش خطی و زاویه‌ای نشان داده شده است. همان‌طور که در شکل‌های ۲ و ۳ مشخص است نقطه بدون کرنش دارای مقدار مینیمم انرژی می‌باشد و علت آن این است که در این حالت، سیستم در حالت تعادلی خود قرار دارد و تحت هیچ کرنشی قرار نگرفته و طبیعتاً دارای کمترین مقدار انرژی است.

1- Dihedral Angle  
2- Improper torsion angle  
3- Bending angle

- [3] M. Mirnezhad, R. Ansari, M. Seifi, H. Rouhi, M. Faghahnasiri, Mechanical properties of graphene under molecular hydrogen physisorption: an ab initio study, *Solid State Communications*, Vol. 152, No. 10, pp. 842-845, 2012.
- [4] M. Mirnezhad, M. Modarresi, R. Ansari, M. R. Roknabadi, Effect of temperature on young's modulus of graphene, *Journal of Thermal Stresses*, Vol. 35, No. 10, pp. 913-920, 2012.
- [5] M. Mirnezhad, R. Ansari, H. Rouhi, Mechanical properties of multilayer boron nitride with different stacking orders, *Superlattices and Microstructures*, Vol. 53, pp. 223-231, 2013.
- [6] R. Ansari, S. Ajori, B. Motevali, Mechanical properties of defective single-layered graphene sheets via molecular dynamics simulation, *Superlattices and Microstructures*, Vol. 51, No. 2, pp. 274-289, 2012.
- [7] J. Wilson, A. Yoffe, The transition metal dichalcogenides discussion and interpretation of the observed optical, electrical and structural properties, *Advanced Physics*, Vol. 18, No. 73, pp. 193-335, 1969.
- [8] B. Radisavljevic, A. Radenovic, J. Brivio, V. Giacometti, A. Kis, Single-layer MoS<sub>2</sub> transistors, *Nature Nanotechnology*, Vol. 6, No. 3, pp. 147-150, 2011.
- [9] Q. H. Wang, K. Kalantar-zadeh, A. Kis, J. N. Coleman, M. S. Strano, Electronics and optoelectronics of two-dimensional transition metal dichalcogenides, *Nature Nanotechnology*, Vol. 7, No. 11, pp. 699-712, 2012.
- [10] M. Ghorbani-Asl, N. Zibouche, M. Wahiduzzaman, A. F. Oliveira, A. Kuc, T. Heine, Electromechanics in MoS<sub>2</sub> and WS<sub>2</sub>: nanotube vs. monolayers, *arXiv:1308.1834v1 [cond-mat.mtrl-sci]*, 2013.
- [11] K. Jun, T. Sefaattin, Zh. Jian, L. Jingbo, W. Junqiao, Band offsets and heterostructures of two-dimensional semiconductors, *Applied Physics Letters*, Vol. 102, pp. 012111-012114, 2013.
- [12] A. Castellanos-Gomez, M. Poot, G. A. Steele, H. S. J. Van Der Zant, N. Agrait, G. Rubio-Bollinger, Elastic properties of freely suspended MoS<sub>2</sub> nanosheets, *Advanced Materials*, Vol. 24, No. 6, pp. 772-775, 2012.
- [13] S. Bertolazzi, J. Brivio, A. Kis, Stretching and breaking of ultrathin MoS<sub>2</sub>, *ACS Nano*, Vol. 5, No. 12, pp. 9703-9710, 2011.
- [14] S. Baroni, D. A. Corso, S. Gironcoli, P. Giannozzi, C. Cavazzoni, G. Ballabio, S. Scandolo, G. Chiarotti, P. Fischer, A. Pasquarello, K. Laasonen, A. Trave, R. Car, N. Marzari, A. Kokalj, Quantum-espresso, <http://www.pwscf.org/>
- [15] J. P. Perdew, K. Burke, M. Ernzerhof, Generalized gradient approximation made simple, *Physical Review Letters*, Vol. 77, No. 18, pp. 3865-3868, 1996.
- [16] J. P. Perdew, K. Burke, Y. Wang, Generalized gradient approximation for the exchange-correlation hole of a many-electron system, *Physical Review B*, Vol. 54, No. 23, pp. 16533-16539, 1996.
- [17] H. J. Monkhorst, J. D. Pack, On special points for brillouin zone integrations, *Physical Review B*, Vol. 13, No. 12, pp. 5188-5192, 1976.
- [18] P. Wagner, V. V. Ivanovskaya, M. J. Rayson, P. R. Briddon, C. P. Ewels, 'Mechanical properties of nanosheets and nanotubes investigated using a new geometry independent volume definition, *Journal of Physics: Condensed Matter*, Vol. 25, pp. 155302, 2013.
- [19] A. Nag, K. Raidongia, K. P. S. S. Hembram, R. Datta, U. V. , C. N. R. Rao, Graphene analogue of BN: Novel synthesis and properties, *ACS Nano*, Vol. 4, pp. 1539, 2010.
- [20] K. Min, N. R. Aluru, Mechanical properties of graphene under shear deformation, *Applied Physics Letters*, Vol. 98, pp. 013113, 2011.

کرنشیبارگذاری صرف تغییرات زوایا و کاهش فاصله دو اتم گوگرد شده و مقداری هم طول باند را تغییر می‌دهد و خواص مکانیکی هم به‌گونه‌ای معرف این تغییرات انرژی کرنشی است. البته به‌طور دقیق نمی‌توان گفت که کدام یک از این تغییرات سه پارامتر زودتر صورت می‌گیرد و تغییر ساختار نانوصفحه تنگستن دی سولفید ترکیبی از تغییرات سه پارامتر زاویه و طول پیوندی و ضخامت است. درصد افزایش طول پیوندی تنگستن- گوگرد به-ازابارگذاری‌های تکمحوره، دوممحوره و برشیبه‌ترتیب ۰/۵۸٪، ۰/۲۱٪ و ۰/۱۳٪ درصد کاهش زاویه گوگرد-تنگستن- گوگرد به‌ازای این بارگذاری‌های- ترتیب ۰/۲۴٪، ۰/۲۳٪ و ۰/۲۴٪ و درصد کاهش فاصله دو اتم گوگرد- گوگرد ۰/۲۸٪ (برای بارگذاری‌های تکمحوره و دوممحوره ترتیب ۰/۱۳٪ و ۰/۱۳٪) است. بررسی این درصددهای افزایش و کاهش، بی‌به این موضوع بردۀ می‌شود که درصد تغییرات ساختاری برای حالت کرنش دوممحوره از حالت‌های کرنش تکمحوره و برشی بیشتر است. علت این تأثیر بیشتر این است که در حالت کرنش دوممحوره‌های نانوصفحه تحت کرنش‌های یکسان در دو جهت است و تمام پیوندهای ساختار به جای یک سمت، از دو طرف تحت کرنش‌های کشنی و فشاری هستند و نتیجتاً وقتی ساختار در دو جهت تحت کرنش قرار می‌گیرد، نسبت به حالت‌های یک طرفه و برشی دارای تغییرات بیشتر و روند تغییر سریع‌تر است. یکی از رهیافت‌های مهم این مقاله، تغییرات ضخامت تنگستن دی سولفید به‌ازای کرنش‌های مختلف خطی است. با درنظر گرفتن این ویژگی جالب ساختار WS<sub>2</sub> و ساختارهای همان‌واده آن مثل MoS<sub>2</sub>، WSe<sub>2</sub>، MoSe<sub>2</sub> می‌توان از آن به عنوان نانوچک‌های مکانیکی در صنعت و همچنین نانوسنسورهای کرنشی استفاده کرد.

## ۵- جمع بندی

در این مقاله با استفاده از محاسبات DFT و بر پایه تقریب GGA-PBE، اقدام به یک تحقیق و بررسی پایه‌ای بر روی خواص مکانیکی نانوصفحه تک‌لایه WS<sub>2</sub> شده است. نتایج نشان می‌دهد که برخلاف نسبت پولاسون، سایر خواص الاستیک به‌طور قابل ملاحظه‌ای از نانوصفحات‌گرافن و برن نیتراید کمتر است. همچنین در این بررسی مشخص شد که فاصله بین دو اتم گوگرد (ضخامت) نانوساختار به‌ازای کرنش‌های مختلف تغییر می‌کند که از این رهیافت می‌توان برای ساخت نانوبالابرها مکانیکی و نانوسنسورهای کرنشی استفاده کرد.

## ۶- مراجع

- [1] K. S. Novoselov, A. K. Geim, S. V. Morozov, D. Jiang, Y. Zhang, S. V. Dubonos, I. V. Grigorieva, A. A. Firsov, Electric field effect in atomically thin carbon films, *Science*, Vol. 306, No. 5696, pp. 666-669, 2004.
- [2] C. Castro Neto, Novoselov K. S., Two-dimensional crystals: Beyond graphene, *Matter Express*, Vol. 1, No. 1, pp. 10-17, 2011.